

تهیه مولیبدن تری اکسید نانو ساختار به روش تخریب گرمایی در حضور استئاریک اسید

مریم محمدی کیش^{*}، مجید ماستری فراهانی، مریم صائمی

دانشکده شیمی، دانشگاه خوارزمی، تهران، ایران

چکیده: در این پژوهش، مولیبدن تری اکسید (MoO_3) خالص نانوساختار با استفاده از روش تخریب گرمایی پیش ماده بیس استیل استوناتو دی اکسو مولیبدن ($MoO_3(acac)_2$) در حضور استئاریک اسید تهیه شد. شناسایی نانوساختار به دست آمده توسط روش های فیزیکو شیمیایی گوناگون مانند طیف سنجی تبدیل فوریه فروسرخ ($FT-IR$)، طیف سنجی جذبی $UV-Vis$ ، آنالیز پرتو ایکس (XRD)، میکروسکوپی الکترونی روبشی (SEM) و میکروسکوپی الکترونی عبوری (TEM) انجام شد. پراش پرتو ایکس خلوص و بلورینگی بالای ترکیب $\alpha-MoO_3$ با فاز بلوری ارتورومیک را تأیید می کند. تصویرهای میکروسکوپ الکترونی روبشی و میکروسکوپ الکترونی عبوری ریخت شناسی نانومیله کوتاه با ضخامت $50-80\text{ nm}$ را نشان می دهد. همچنین، شکاف نوار نانوساختار MoO_3 به دست آمده حدود 3.65 eV است که با استفاده از طیف سنجی جذبی $UV-Vis$ تعیین شد. مکانیسم رشد بلور مناسبی نیز بر اساس آنالیز پرتو ایکس پیشنهاد شد.

واژه های کلیدی: مولیبدن تری اکسید؛ نانوساختار؛ استئاریک اسید؛ تخریب گرمایی؛ شکاف نوار؛ مکانیسم رشد.

KEYWORDS: MoO_3 ; Nanostructure; Stearic acid; Thermal decomposition; Band gap; Growth mechanism.

مقدمه

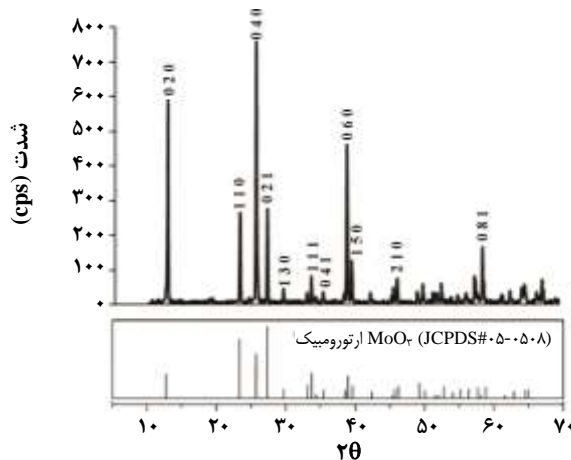
مواد ترمولکتریک [۸]، حسگرهای [۹]، مواد فوتولکترونیک [۱۰]، روان سازها [۱۱] و دستگاه های الکتروکرومیک [۱۲-۱۵] دارند. با توجه به کاربردهای گسترده MoO_3 روش های بسیاری برای سنتز نانوساختارهای آن با ریخت شناسی های متنوع مورد استفاده قرار گرفته است. نانوساختارهای MoO_3 متنوعی مانند نانومیله ها، نانو سیم ها، نانو نوارها، نانو فیبرها و نانو صفحه ها توسط روش های گوناگون سنتز شده اند [۱۶-۲۰].

یکی از روش های تهیه نانوساختارهای اکسیدهای فلزی، روش تخریب گرمایی است. در بین روش های گوناگون، روش های

مواد نانوساختار معدنی یک بعدی، به علت داشتن ویژگی های واپسی به اندازه و شکل توجه زیادی را به خود جلب کرده اند [۱-۳]. نانو نوارهای دارای مقطع مستطیل شکل ترکیب های جالب و واحد های سازنده مناسبی برای ساخت نانوابزار هستند [۴]. مولیبدن تری اکسید اورتورو میک (α- MoO_3) دارای ساختار بلوری لایه ای با شکاف نواری در بازه $2.4-2.9\text{ eV}$ [۵] بسیار مورد توجه بوده است. نانوساختارهای MoO_3 به دلیل دارا بودن ویژگی های منحصر به فرد کاربردهای زیادی به عنوان رساناهای یونی [۶]، کاتد در باتری های لیتیمی قابل شارژ [۷]،

* عهده دار مکاتبات

+E-mail: mohammadikish@knu.ac.ir



شکل ۱- الگوی پراش پرتو ایکس مولبیدن تری اکسید به دست آمده از کلسینه کردن بیس (استیل استوناتو) دی اکسو مولبیدن (IV) در حضور استئاریک اسید در دمای 450°C به مدت ۲ ساعت.

روش تهیه نانوساختار مولبیدن تری اکسید، MoO_3 با تخریب گرمایی مخلوط $\text{MoO}_3(\text{acac})_2$ و استئاریک اسید تهیه شد. ابتدا ۱ گرم از پیش ماده $\text{MoO}_3(\text{acac})_2$ در حلال اتانول حل و سپس این محلول به ۱ گرم استئاریک اسید افزوده شد. محلول به دست آمده تحت همزدن مغناطیسی گرما داده شد تا همه‌ی اتانول تبخیر شود و مخلوط آبی تیره ای به دست آید. مخلوط به دست آمده به مدت ۲ ساعت در دمای 450°C کلسینه شد تا با سوختن تمام ترکیب‌های آلی و لیگاند‌های استیل استونات، نانوساختار MoO_3 به دست آید.

نتیجه‌ها و بحث

فاز بلوری و خلوص فراورده به دست آمده پس از کلسینه کردن مخلوط پیش ماده $\text{MoO}_3(\text{acac})_2$ و استئاریک اسید توسط آنالیز پراش پرتو ایکس بررسی شد. الگوی پراش پرتو ایکس فراورده به دست آمده در شکل ۱ نشان داده شده است. پیک‌های پراش دیده شده در الگوی XRD فراورده به طور کامل با الگوی مربوط به نمونه استاندارد $\alpha\text{-MoO}_3$ با فاز بلوری ارتورومیک مطابقت دارد (JCPDS No. 05-0508) و اندیس گذاری می‌شود. پیک‌های تیز نشان دهنده ماهیت بلوری فراورده است. پیک‌های پراش شدید مربوط به صفحه‌های $(0\ 20)$, $(0\ 40)$ و $(0\ 60)$ ساختار بلوری لایه‌ای این ترکیب را نشان می‌دهد [۷].

شکل ۲ تصویرهای SEM نانوساختار MoO_3 به دست آمده را نشان می‌دهد. در تصویرهای SEM نانومیله‌های کوتاه

شیمیابی با کمک سورفتانت، به دلیل قابلیت کنترل شکل و اندازه ذره‌های بسیار مورد توجه بوده اند [۲۷-۲۱]. پژوهشگران MoO_3 را در حضور پلی آئیلن، پلی وینیل الکل (PVA)، پلی وینیل پیرولیدون (PVP) و همچنین پلی اتیلن گلیکول (PEG) تهیه کرده‌اند [۳۰-۳۸]. با این حال گزارشی در مورد تهیه نانوساختارهای MoO_3 در حضور استئاریک اسید در مقاله‌ها وجود ندارد. در این مقاله، سنتز نانوساختار MoO_3 با ریخت شناسی نانومیله‌های کوتاه و با فاز بلوری ارتورومیک گزارش می‌شود. برای سنتز این ترکیب از تخریب گرمایی پیش ماده $\text{MoO}_3(\text{acac})_2$ در حضور استئاریک اسید استفاده شده است. کمپلکس $\text{MoO}_3(\text{acac})_2$ پیش ماده ارزان و ساده‌ای است که به سادگی توسط گرما تخریب می‌شود و اکسید فلزی مورد نظر را ایجاد می‌کند. مکانیسم رشد تشکیل فراورده نیز گزارش شده است.

بخش تجربی

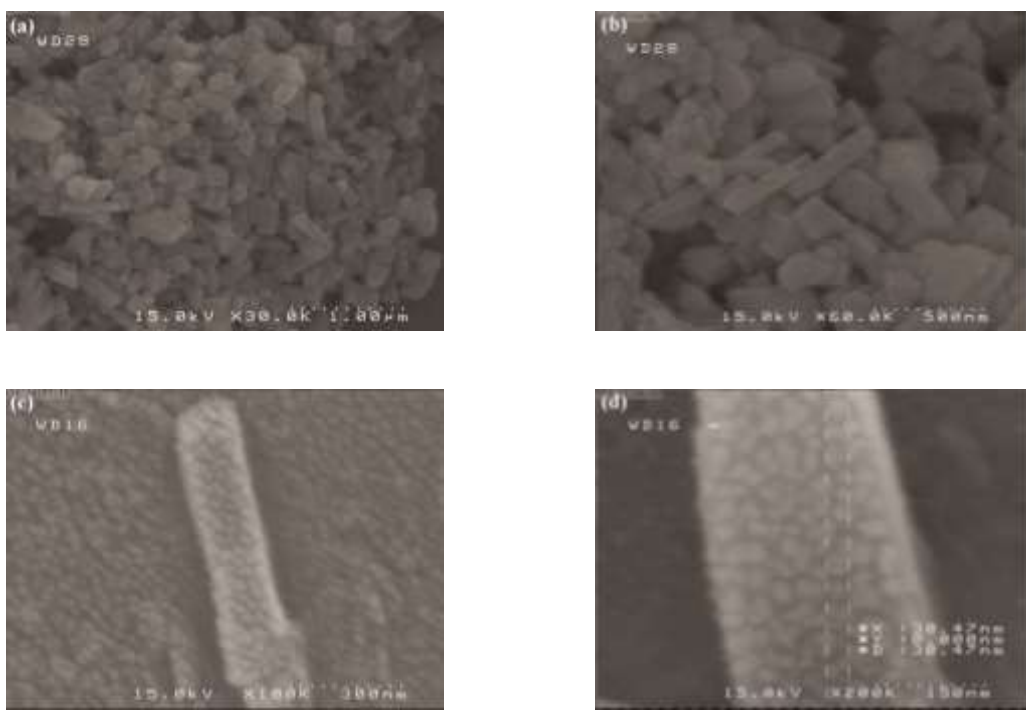
مواد شیمیابی و تجهیزات

همه‌ی مواد شیمیابی مورد نیاز از شرکت Acros تهیه شده و بدون خالص سازی مورد استفاده قرار گرفته است. همچنین همه‌ی حلال‌های مورد استفاده از شرکت Merck خریداری شده است. Perkin-Elmer UV-Vis طیف‌های جذبی UV-Vis توسط دستگاه Lambda 25 با استفاده از قرص نمونه رقیق شده در پتاسیم برمید ثبت شده است. الگوی پراش اشعه X به سیله دستگاه RigakuD-maxCIII و با استفاده از تابش Cukα با طول موج 154 \AA نانومتر به دست آمده است. تصویرهای SEM توسط دستگاه KYKY-EM3200 و تصویرهای TEM توسط دستگاه PhilipsCM30 تهیه شده است.

روش تهیه پیش ماده بیس استیل استوناتو دی اکسو مولبیدن

$\text{MoO}_2(\text{acac})_2\text{(VI)}$

۱/۵ گرم آمونیوم هپتامولبیدات $((\text{NH}_4)_6\text{Mo}_7\text{O}_{24} \cdot 4\text{ H}_2\text{O})$ در 35 ml لیتر آب دوبار تقطیر حل شد تا محلول یکنواختی به دست آید. به محلول به دست آمده در حال همزدن مغناطیسی 3 ml لیتر استیل استون افزوده شد. پس از چند دقیقه 30 ml میلی لیتر نیتریک اسید 10% حجمی به این محلول افزوده شد تا pH محلول در $3/5$ تنظیم شود. پس از ۲ ساعت رسوب زرد رنگ به دست آمده صاف شد و توسط آب دوبار تقطیر و اتانول شستشو داده شد. رسوب به دست آمده در دمای محیط خشک شد.



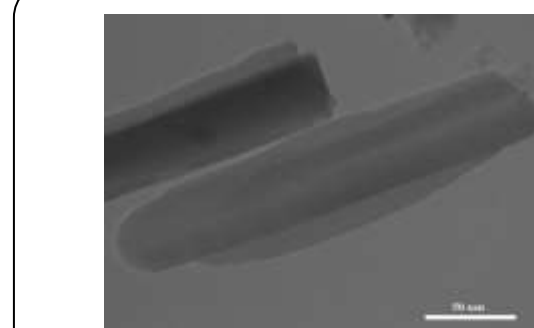
شکل ۲- تصویرهای میکروسکوپ الکترونی روبشی نانوساختار مولیبدن تری اکسید به دست آمده از کلسینه کردن بیس (استیل استوناتو) دی اکسو مولیبدن (IV) در حضور استئاریک اسید در دمای 45°C به مدت ۲ ساعت.

نانو ذره‌ها دارای قطری در حدود 30 nm به صورت متراکم کنار هم قرار گرفته و تشکیل نانو ساختارهای میله مانند داده‌اند.

تصویر TEM نانو ساختار MoO_3 تهیه شده در حضور استئاریک اسید در شکل ۳ دیده می‌شود. تصویر TEM در توافق با نتیجه‌های SEM حضور نانو میله‌هایی با ضخامت متوسط $50\text{--}80\text{ nm}$ را نشان می‌دهد.

طیف FT-IR ترکیب نانوساختار MoO_3 در ناحیه $400\text{--}4000\text{ cm}^{-1}$ در شکل ۴ نشان داده شده است. وجود گروه‌های آلی (لیگاند استیل استونات) در طیف پیش ماده (شکل ۴الف) به خوبی قابل دیدن است (به عنوان نمونه، نوار دیده شده در ناحیه حدود 2980 cm^{-1} که مربوط به ارتعاش‌های کششی پیوند C-H و نوارهای موجود در ناحیه $1400\text{--}1650\text{ cm}^{-1}$ که مربوط به ارتعاش‌های کششی پیوندهای $\text{C}=\text{C}$ و $\text{C}=\text{O}$ در لیگاند استیل استونات هستند). پس از تخریب گرمایی و تشکیل مولیبدن تری اکسید، همه ماده آلی موجود سوخته و فقط نوارهای مربوط به ارتعاش‌های گوناگون اکسید فلزی قابل دیدن است (شکل ۴ب).

در طیف فروسرخ نانوساختار MoO_3 سه نوار ارتعاشی قوی



شکل ۳- تصویر میکروسکوپ الکترونی عبوری نانو میله مولیبدن تری اکسید به دست آمده از کلسینه کردن بیس (استیل استوناتو) دی اکسو مولیبدن (IV) در حضور استئاریک اسید در دمای 45°C به مدت ۲ ساعت.

و به تقریب یکنواخت MoO_3 به روشی دیده می‌شود. ضخامت نانو میله‌ها در حدود 90 nm است. با این حال طول نانو میله‌ها متنوع و در بازه‌ی $500\text{--}1000\text{ nm}$ است. با نگاهی دقیق‌تر به تصویرهای SEM (شکل ۲ قسمت c و d) دیده می‌شود که نانوساختارهای میله مانند به دست آمده از نانو ذره‌ها تشکیل شده‌اند. به عبارت دیگر،

ارتورومبیک، ترکیبی از واحدهای هشت وجهی نامنظم MoO_6 است که لبه‌ها را در جهت (۱۰۰) و گوشه‌ها را در جهت (۰۱۰) به اشتراک می‌گذارند تا ساختار لایه‌ای تشکیل شود. لایه‌ها تنها از طریق برهمکنش‌های ضعیف واندروالسی در جهت (۰۱۰) به هم متصل هستند. درحالی که برهمکنش در جهت (۱۰۰) پیوندهای محکم کووالانسی است. با توجه به روند سرعت رشد مسطح در جهت محورها، رشد در جهت (۱۰۰) بسیار دلخواه‌تر است و هر هسته به شکل نانو میله رشد می‌کند.

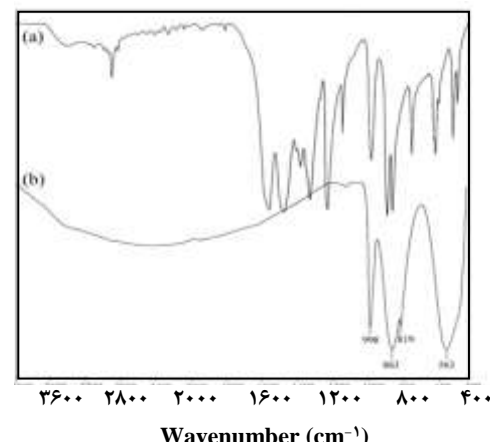
با توجه به شکل ۵، از تجمع هسته‌های MoO_6 نانوساختارهای میله‌ای تشکیل می‌شود. استئاریک اسید با قرار گرفتن روی سطوحهای MoO_3 ، از رشد در راستای (۱۰۰) جلوگیری می‌کند و سرانجام نانوساختار میله مانند MoO_3 شکل می‌گیرد.

شکل ۶ طیف جذبی نانوساختار MoO_3 را در ناحیه ۲۰۰–۶۰۰ nm در حدهای ۳۰۰ nm دیده می‌شود که ناشی از جهش انتقال بار LMCT لیکاند (2po) به فلز ($4d_{\text{Mo}}$) است. این طیف جذبی برای محاسبه انرژی شکاف نوار مستقیم نانوساختارهای میله‌ای مورد استفاده قرار می‌گیرد. منحنی تغییر $(\epsilon h\nu)^n$ در برابر $(h\nu)$ که به منحنی تاک (Tauc) مشهور است برای نانوساختار MoO_3 در شکل ۷ نشان داده شده است. خط صاف مشاهده شده نشان دهنده مستقیم بودن جهش است. شکاف نوار نانوساختارهای میله‌ای MoO_3 با استفاده از معادله تاک زیر به دست می‌آید [۳۳]:

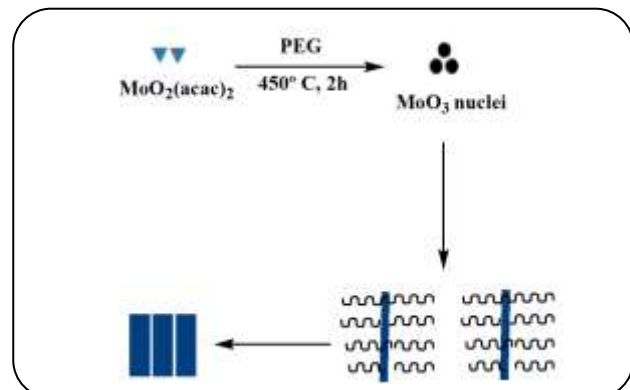
$$(\epsilon h\nu)^n = B(h\nu - E_g) \quad (1)$$

ϵ ضریب جذب مولی، $h\nu$ انرژی فوتون، B یک عدد ثابت، E_g انرژی شکاف نوار نوری و n عددی است که مرتبه جهش را مشخص می‌کند (برای جهش‌های مجاز مستقیم $n = 2$ و برای جهش‌های مجاز غیرمستقیم $n = \frac{1}{2}$).

انرژی شکاف نوار مجاز مستقیم از برون یابی خط مستقیم منحنی روی محور انرژی به دست می‌آید. مقدار انرژی شکاف نوار نانومیله‌های مولیبدن تری اکسید به دست آمده 3.65 eV به دست آمد که با شکاف نوار MoO_3 گزارش شده در توافق است [۳۴] و از شکاف نوار 2.9 eV که برای نمونه توده‌ای گزارش شده است [۳۵] بیشتر می‌باشد. این موضوع وجود اثرهای کوانتومی که در اثر کاهش اندازه ذره‌ها ایجاد می‌شود را تأیید می‌کند.



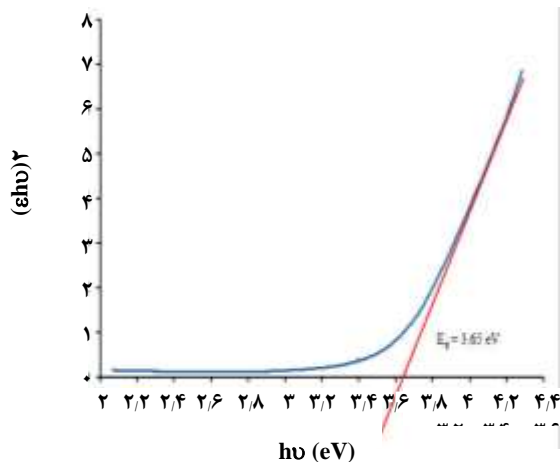
شکل ۴- طیف FT-IR (الف) پیش ماده بیس (استیل استوناتو) دی اکسو مولیبدن (IV)، (ب) نانومیله‌ای مولیبدن تری اکسید به دست آمده از کلیسینه کردن بیس (استیل استوناتو) دی اکسو مولیبدن (IV) در حضور استئاریک اسید در دمای 45°C به مدت ۲ ساعت.



شکل ۵- طرح شماتیک مکانیسم رشد نانوساختارهای میله‌ای مولیبدن تری اکسید.

در 563 cm^{-1} و 863 cm^{-1} دیده می‌شود. نوار 563 cm^{-1} مربوط به شیوه ارتعاشی متقارن اکسیژن پل متصل به سه اتم مولیبدن است. ارتعاش کششی نامتقارن Mo-O-Mo در ناحیه 863 cm^{-1} دیده می‌شود. ارتعاش کششی Mo=O انتهایی در ناحیه 998 cm^{-1} دیده می‌شود [۳۱، ۳۲].

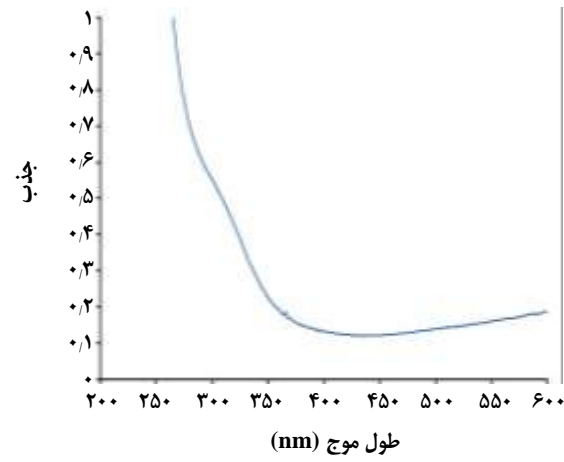
پیش ماده $\text{MoO}_2(\text{acac})_2$ در حضور استئاریک اسید مخلوط تیره‌ای تشکیل می‌دهد. در دمای 45°C کوره کلیه ترکیب‌های آلی موجود درین مخلوط تجزیه شده و فراورده‌ی MoO_3 نانوساختار تشکیل می‌شود. شکل ۵ طرح شماتیک مکانیسم رشد MoO_3 نانوساختار را نشان می‌دهد. به طور کلی،



شکل ۷- منحنی تاک نانومیله های مولیبدن تری اکسید به دست آمده از کلسینه کردن بیس (استیل استوناتو) دی اکسو مولیبدن (IV) در حضور استاریک اسید در دمای 450°C به مدت ۲ ساعت.

می کند. داده های طیف جذبی حضور شانه ای در نزدیکی 300 nm را نشان می دهد که انرژی شکاف نواری برابر با 3.65 eV را مشخص می کند. مکانیسم رشد ارایه شده نقش استاریک اسید را در کنترل اندازه و ریخت شناسی نشان می دهد.

تاریخ دریافت: ۱۳۹۵/۱/۲۵، تاریخ پذیرش: ۱۳۹۶/۱/۲۱



شکل ۶- طیف UV-Vis نانومیله های مولیبدن تری اکسید به دست آمده از کلسینه کردن بیس (استیل استوناتو) دی اکسو مولیبدن (IV) در حضور استاریک اسید در دمای 450°C به مدت ۲ ساعت.

نتیجه گیری

نانو ساختار میله مانند $\alpha\text{-MoO}_3$ با تخریب گرمایی پیش ماده $\text{MoO}_2(\text{acac})_2$ در حضور استاریک اسید با موفقیت تهیه شد. نانومیله های تهیه شده ریخت شناسی و اندازه ذره های به نسبت یکنواختی دارند. بر طبق مکانیسم ارایه شده استاریک اسید با اتصال به سطوح MoO_3 از تجمع نانومیله ها و افزایش اندازه جلوگیری

مراجع

[1] Fu Y., Zhu H., Schrader A.W., Liang D., Ding Q., Joshi P., Hwang L., Zhu X.Y, Jin S., Nanowire Lasers of Formamidinium Lead Halide Perovskites and Their Stabilized Alloys with Improved Stability, *Nano Lett.*, **16**, 1000–1008 (2016).

[۲] صفائی، م؛ روش تهیه، مکانیسم رشد و کاربرد نانولوله های تیتانیا/تیتاناتی، نشریه شیمی و مهندسی شیمی ایران، ۳۴: ۱ تا ۲۲ (۱۳۹۴).

[۳] ارازقی زاده، ع؛ الهمی، ا؛ رفیعی، و؛ بررسی پرتو جذبی UV-Vis لایه های نانوساختار رنگ تهیه شده TiO_2 با استفاده از رنگدانه های سیانیدین توت سیاه به روش سل - ژل، نشریه شیمی و مهندسی شیمی ایران، ۳۵: ۱ تا ۸ (۱۳۹۵).

[4] Pan Z.W., Dai Z.R., Wang Z.L., Nanobelts of Semiconducting Oxides, *Science*, **291**: 1947-1949 (2001).

- [5] Ahire D.V., Shinde S.D., Patil G.E., Thakur K.K., Gaikwad V.B., Wagh V.G., Jain G.H., Preparation of MoO_3 Thin Films by Spray Pyrolysis and its Gas Sensing Performance, *Int. J. Smart Sense. Intelligent Syst.*, **5**: 592-605 (2012).
- [6] Arulraj A., Goutenoire F., Tabellout M., Bohnke O., Lacorre P., Synthesis and Characterization of the Anionic Conductor System $\text{La}_2\text{Mo}_2\text{O}_{9.0.5x}\text{F}_x$ ($x = 0.02\text{--}0.30$), *Chem. Mater.*, **14**: 2492-2498 (2002).
- [7] Li W., Cheng F., Tao Z., Chen J., Vapor-Transportation Preparation and Reversible Lithium Intercalation/Deintercalation of $\alpha\text{-MoO}_3$ Microrods, *J. Phys. Chem. B*, **110**: 119-124 (2006).
- [8] Adelifard M., Jahandoost M., Impact of Sulfur Concentration on Morphological, Optical, Electrical and Thermoelectrical Properties of Nanostructured MoO_3 Thin Films, *Journal of Materials Science: Materials in Electronics*, **27**, 5427-5433 (2016).
- [9] Sunu S.S., Prabhu E., Jayaraman V., Guanasekar K.J., Sesariji T.K., Guanasekaran T., Electrical Conductivity and Gas Sensing Properties of MoO_3 , *Sens. Actuators B*, **101**: 161-174, (2004).
- [10] Li N., Li Y., Li Y., Ji S., Jin P., One-Step Hydrothermal Synthesis of $\text{TiO}_2@\text{MoO}_3$ Core-Shell Nanomaterial: Microstructure, Growth Mechanism, and Improved Photochromic Property, *J. Phys. Chem. C*, **120**: 3341-3349 (2016).
- [11] Wang J.Y., Shan Y., Guo H., Li B., Wang W., Jia J., Friction and Wear Characteristics of Hot-Pressed NiCr-Mo/MoO₃/Ag Self-Lubrication Composites at Elevated Temperatures up to 900 °C, *Tribology Letters*, **48**: 1-16 (2015).
- [12] Somani P.R., Radhakrishnan S., Electrochromic Materials and Devices: Present and Future, *Mater. Chem. Phys.*, **77**: 117-133 (2002).
- [13] Yao D.D., Rani R.A., O'Mullane A.P., Kalantar-zadeh K., Ou J.Z., Enhanced Coloration Efficiency for Electrochromic Devices Based on Anodized Nb_2O_5 /Electrodeposited MoO_3 Binary Systems, *J. Phys. Chem. C*, **118**: 10867-10873 (2014).
- [14] McEvoy T.M., Stevenson K.J., Hupp J.T., Dang X., Electrochemical Preparation of Molybdenum Trioxide Thin Films: Effect of Sintering on Electrochromic and Electroinsertion Properties, *Langmuir*, **19**: 4316-4326 (2003).
- [15] Bach U., Corr D., Lupo D., Pichot F., Ryan M., Nanomaterials-Based Electrochromics for Paper-Quality Displays, *Adv. Mater.*, **14**: 845-848 (2002).
- [16] Lou X.W., Zeng H.C., Hydrothermal Synthesis of $\alpha\text{-MoO}_3$ Nanorods via Acidification of Ammonium Heptamolybdate Tetrahydrate, *Chem. Mater.*, **14**: 4781-4789 (2002).
- [17] Michailovski A., Grunwaldt J.D., Baiker A., Kiebach R., Bensch W., Patzke G.R., Studying the Solvothermal Formation of MoO_3 Fibers by Complementary In Situ EXAFS/EDXRD Techniques, *Angew. Chem. Int. Ed.*, **44**: 5643-5647 (2005).
- [18] Wei X.M., Zeng H.C., Large-Scale Organizations of MoO_3 Nanoplatelets with Single-Crystalline $\text{MoO}_3(4,4'\text{-bipyridyl})_{0.5}$, *J. Phys. Chem. B*, **107**: 2619-2622 (2003).

- [19] Li X.L., Liu J.F., Li Y.D., Low-Temperature Synthesis of Large-Scale Single-Crystal Molybdenum Trioxide (MoO_3) Nanobelts, *Appl. Phys. Lett.*, **81**: 4832-4834 (2002).
- [20] Xia T., Li Q., Liu X., Meng J., Cao X., Morphology-Controllable Synthesis and Characterization of Single-Crystal Molybdenum Trioxide, *J. Phys. Chem. B*, **110**: 2006-2012 (2006).
- [21] Wang J.W., Li Y.D., Synthesis of Single-Crystalline Nanobelts of Ternary Bismuth Oxide Bromide with Different Compositions, *Chem. Commun.*, **18**: 2320-2321 (2003).
- [22] Yan M.Y., Shen Y., Zhao L., Li Z., Synthesis and Photochromic Properties of EDTA-Induced MoO_3 Powder, *Mater. Res. Bull.*, **46**: 1648-1653 (2011).
- [23] Phuruangrat A., Chen J.S., Lou X.W., Yayapao O., Thongtem S., Thongtem T., Hydrothermal Synthesis and Electrochemical Properties of α - MoO_3 Nanobelts Used as Cathode Materials for Li-Ion Batteries, *Appl. Phys. A*, **107**: 249-254 (2012).
- [24] Salavati-Niasari M., Davar F., Mazaheri M., Synthesis of Mn_3O_4 Nanoparticles by Thermal Decomposition of a [bis(salicylidiminato)manganese(II)]Complex, *Polyhedron*, **27**: 3467-3471 (2008).
- [25] Salavati-Niasari M., Fereshteh Z., Davar F., Synthesis of Cobalt Nanoparticles from [bis(2-hydroxyacetophenato)cobalt(II)] by Thermal Decomposition, *Polyhedron*, **28**: 1065-1068 (2009).
- [۲۶] احمدپور، سجاد؛ عالمی، عبدالعلی؛ خادمی نیا، شاهین؛ تهیه و شناسایی بلورهای کادمیم اکسید ناخالص شده با عناصر لantanیدی گادولینیوم (Gd^{3+}) و لوتینیوم (Lu^{3+}) به روش سل-زل، نشریه شیمی و مهندسی شیمی ایران، ۱۳۹۳: ۳۳ تا ۸.
- [۲۷] خانی، وجیهه؛ شریفی، لیلا؛ پیامی، آرش؛ کوهانی، حسین؛ میرحسینی، سیدحسین، تهیه نانوپودر روی اکسید به روش سوختن ژل و استفاده از آن در ساخت پوشش‌های مقاوم به خوردگی کامپوزیتی پلیمر/روی اکسید، نشریه شیمی و مهندسی شیمی ایران، ۱۳۹۴: ۳۴ تا ۱۱.
- [28] Yu. Posudievsky O., Biskulova S.A., Pokhodenko V.D., New Polyaniline– MoO_3 Nanocomposite as a Result of Direct Polymer Intercalation, *J. Mater. Chem.*, **12**: 1446-1449 (2002).
- [29] Subba-Reddy C.V., Qi Y.Y., Jin W., Zhu Q.Y., Deng Z.R., Chen W., Mho S.I., An Electrochemical Investigation on (MoO_3 +PVP+PVA) Nanobelts for Lithium Batteries, *J. Solid State Electrochem.*, **11**: 1239-1243 (2007).
- [30] Mai L.Q., Chen W., Xu Q., Zhu Q.Y., Effect of Modification by Poly(ethylene-oxide) on the Reversibility of Li Insertion/Extraction in MoO_3 Nanocomposite Films, *Micro. Eng.*, **66**: 199-205 (2003).
- [31] Subba-Reddy C.V., Walker Jr. E.H., Wen C., Mho S., Hydrothermal Synthesis of MoO_3 Nanobelts Utilizing Poly(ethylene glycol), *J. Power Sources*, **183**: 330-333 (2008).
- [32] Klinbumrung A., Thongtem T., Thongtem S., Characterization of Orthorhombic α - MoO_3 Microplates Produced by a Microwave Plasma Process, *J. Nanomaterials*, 1-5 (2012).

- [33] Tauc J., [Optical Properties and Electronic Structure of Amorphous Ge and Si](#), *Mater. Res. Bull.*, **3**: 37–46 (1968).
- [34] Mordike B.L., Ebert T., [Magnesium: Properties-Applications-Potential](#), *Mater. Sci. Eng. A*, **302**: 37–45 (2001).
- [35] Zhao Y, Liu J, Zhou Y, Zhang Z, Xu Y, Naramoto H and Yamamoto S, [Preparation of MoO₃ Nanostructures and Their Opticalproperties](#), *J. Phys.: Condens. Matter*, **15**: L547–L552 (2003).